

DESCRIÇÃO DO EXPERIMENTO

1. Este documento

- Contém os pontos essenciais da explicação apresentada oralmente pelo professor. Use-o como referência de consulta. Não é necessário deixá-lo aberto durante a aula. As instruções sobre a aula encontram-se em outro documento, o Roteiro Experimental.
- Os slides da apresentação do professor também estão disponíveis no website da disciplina e também servem para referência posterior.

2. Objetivos da aula de difração de raio-X

- O experimento tem duas grandes partes:
 - **Parte 1** – difração de Bragg, para determinar a distância interatômica dos componentes da célula do cristal (d).
 - **Parte 2** – determinação da constante de Planck (h) via *Bremstrahlung*.

3. Relatório

As informações sobre o relatório encontram-se no documento Modelo de Relatório, para este experimento.

4. Equipamento utilizado:

- Difratorômetro de Raio X 554 800 (LD Didatic GmbH)
- Computador conectado ao difratorômetro via USB com o software *Xray apparatus*.

A janela inicial do programa *X ray apparatus* encontra-se na fig. 1 a seguir.

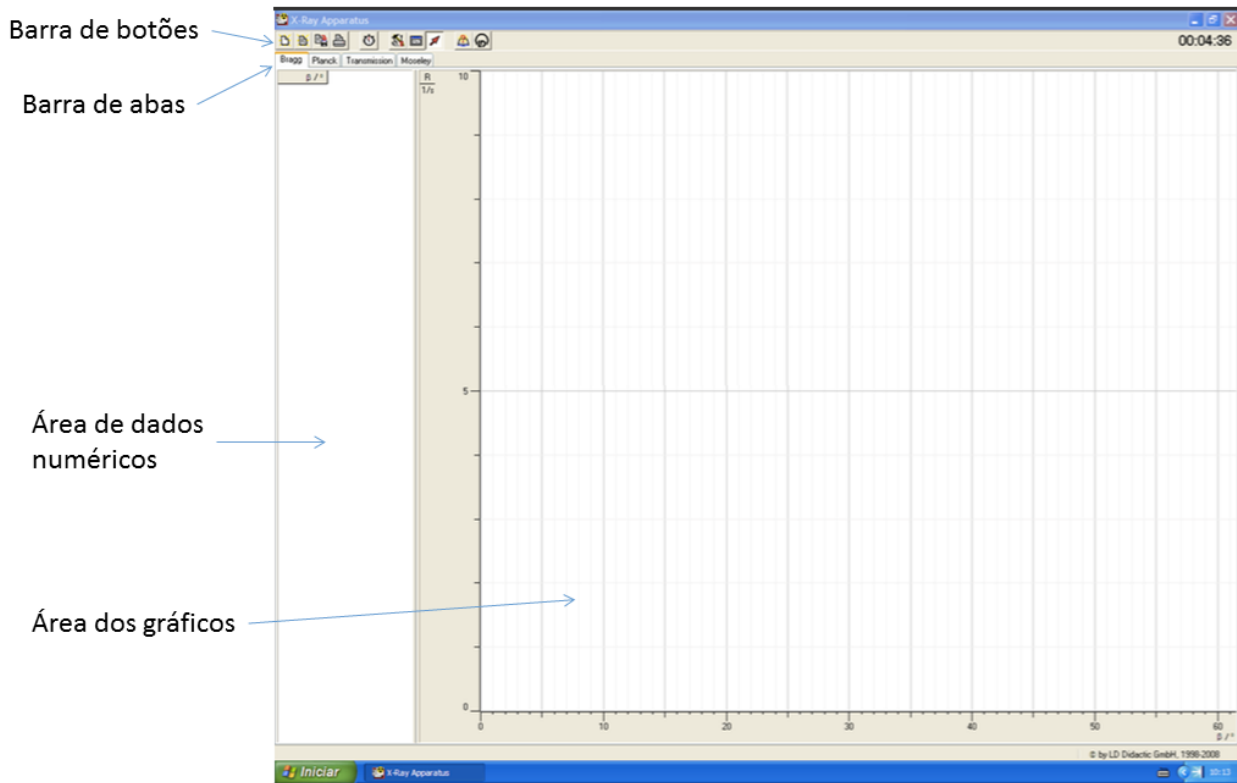


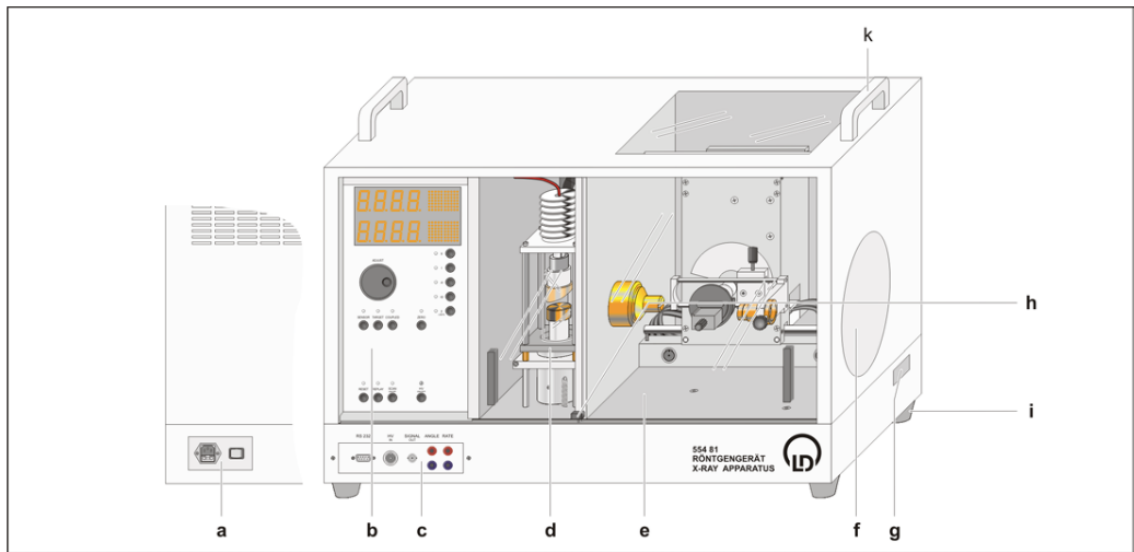
Fig 1 – painel de abertura do programa *X ray apparatus*

O programa Xray apparatus permite controlar o difratômetro via computador. O difratômetro também pode ser operado através de seu painel de controle, porém é mais confortável fazê-lo através do software, além deste permitir um registro mais prático da configuração dos parâmetros do experimento, além do registro e apresentação das medidas.

No documento Roteiro Experimental está descrito passo-a-passo como preparar e controlar o experimento.

4.1. O difratômetro

Este é um equipamento de raio X compacto para fins didáticos. Como pode ser observado na figura 1, possui um tubo de raio X com anodo de molibdênio (Mo), alimentado por fontes capazes de suprir tensão máxima de 35 kV e corrente máxima de 1 mA. Está equipado com goniômetro com suporte para o cristal e movido por motor de passo, detector de radiação tipo Geiger-Muller e uma tela fluorescente de tungstato de cálcio (CaWO_4 - xilita). Nesse equipamento é possível regular tensão, corrente, ângulo do detector e ângulo do cristal (acoplados ou não) pelo painel do equipamento e pelo software de controle de medida ().



- | | | | | | | | |
|---|-------------------------|---|--|---|-------------------|---|---------------------|
| a | Campo de conexão à rede | d | Câmara do tubo (com tubo de raios X) | f | Tela fluorescente | i | Pés |
| b | Campo de comando | e | Câmara de experiências (aqui com goniômetro) | g | Canal livre | k | Alças de transporte |
| c | Campo de conexão | | | h | Tecla de bloqueio | | |

Figura 1 – Equipamento didático para experimentos com raio X

4.2. Princípio de funcionamento

O tubo de raio X (fig.2) possui dois eletrodos: catodo (negativo) e anodo (positivo). Aplica-se uma corrente ao filamento do catodo, que o aquece e o induz a emitir elétrons por efeito termoeletrônico. Aplica-se independentemente uma tensão elevada (da ordem de kV) entre o catodo e o anodo, produzindo-se um campo que acelera os elétrons emitidos pelo catodo, direcionando-os ao anodo. Esses elétrons adquirem grande energia cinética (da ordem de keV) e penetram no anodo, interagindo com os átomos de Mo, resultando na emissão de raio X.

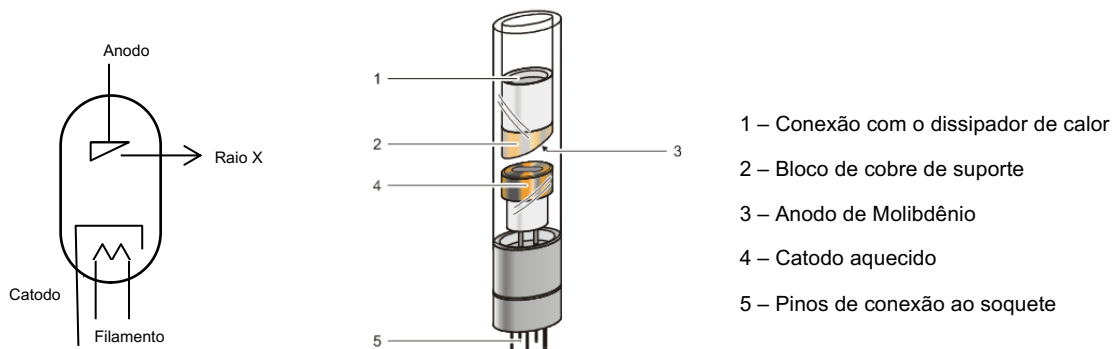


Figura 2 – Tubo de raio X

Os fótons de raio X emitidos pelo anodo são de dois tipos:

- Fótons produzidos por Bremsstrahlung e,
- Fótons produzidos por transição de elétrons das camadas L e M para a camada K dos átomos de molibdênio (há duas transições K possíveis: $K\alpha$, de L para K, e $K\beta$, de M para K).

As energias dos fótons produzidos por *Bremsstrahlung* são distribuídas conforme a curva em vermelho na fig.3, que lembra a forma da distribuição de radiação de Planck. Os fótons produzidos pelas transições K no molibdênio aparecem em quantidades nitidamente maiores que os produzidos por *Bremsstrahlung*, resultando em picos que se destacam em relação à distribuição de *bremsstrahlung*. Por isso se diz que os fótons de *bremsstrahlung* constituem uma radiação de fundo em relação aos picos (fig.3).

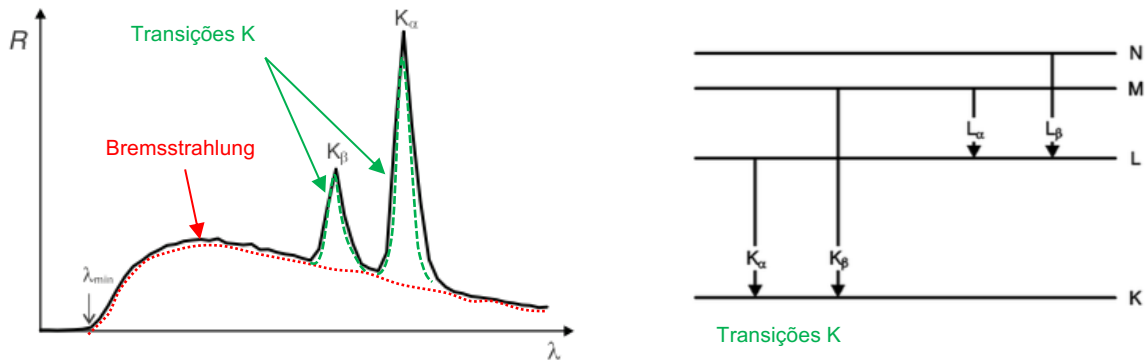


Figura 3 – A ordenada **R** indica a **taxa de contagem de fótons** pelo detector

Os fótons emitidos pelo tubo de raio X são colimados em um feixe estreito interpondo-se em seu percurso uma fenda que seleciona apenas aqueles cujas trajetórias encontrarem-se em um ângulo de pequena abertura. Para fins práticos, considerando-se as distâncias envolvidas, pode-se supor que os fótons no feixe colimado seguem trajetórias praticamente paralelas. A fig.4a apresenta uma visão esquemática da montagem usada nos experimentos aqui considerados. Esse esquema refere-se aos componentes indicados no item (e) da fig.1.

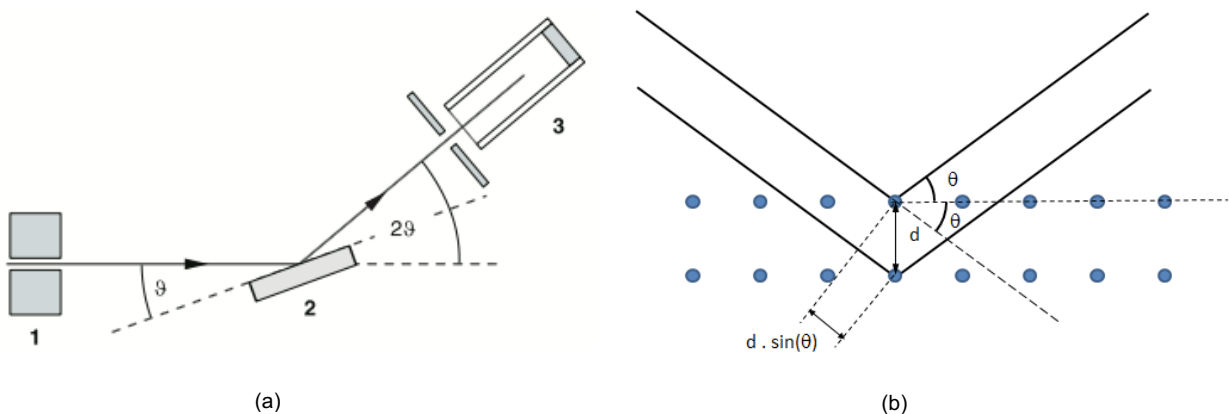


Figura 4 – a) Visão esquemática do arranjo experimental utilizado. b) Lei de Bragg.

O arranjo experimental mostrado na fig.4a, corresponde à determinação de características estruturais de um cristal empregando-se difração de raio X pelo método de Bragg. Na fig.4a, o componente (1) é o colimador do feixe, em (2) encontra-se o cristal e em (3) o detector de fótons

espalhados pelo cristal. O feixe de raio X colimado incide sobre o cristal e é espalhado pela estrutura cristalina. Os fótons de raio X espalhados sofrerão interferência decorrente do espalhamento, produzindo uma figura de difração cujos picos estarão espacialmente localizados em função da relação entre a geometria da estrutura cristalina e o comprimento de onda associado às energias dos fótons que se superpõem por interferência. A fig.4b ilustra essa relação entre os parâmetros envolvidos, que conduz à enunciação da lei de Bragg:

$$n\lambda=2d.\sin(\theta)$$

4.3. Difração de Bragg

A difração de Bragg é o método de espalhamento de um feixe raio X em que um cristal regular atua como rede de difração e a detecção do feixe difratado é feita em um ângulo de espalhamento igual ao ângulo de incidência do feixe. A frente de onda correspondente aos fótons no feixe incidente será espalhada por átomos situados em diversos planos da rede cristalina, e a superposição das ondas espalhadas produz interferência. A diferença de caminho ótico entre ondas depende da camada de átomos que espalhou a onda. Para um ângulo de incidência igual a θ em relação ao plano do cristal sobre o qual incide, e sendo d o espaçamento entre dois planos cristalinos paralelos adjacentes, resulta uma diferença de caminho igual a $2d.\sin(\theta)$. Se esse valor for múltiplo inteiro do comprimento de onda dos fótons de raio X, as ondas associadas aos fótons alcançarão o detector em fase, produzindo interferência construtiva acarretando um máximo de difração para aquele comprimento de onda.

A expressão da Lei de Bragg é $n\lambda=2d.\sin(\theta)$ determinando os máximos de difração, sendo n a ordem do máximo. O difratômetro de Bragg é construído de modo a explorar a condição manifesta nessa lei, colocando-se o detector de fótons espalhados orientado de acordo com a fig.4a. Um goniômetro solidário ao detector permite medir o ângulo a θ . No caso do equipamento usado, descrito na fig.1, a medida do ângulo é obtida contando-se passos de dados por um motor de passo que aciona automaticamente o goniômetro.

Todavia, o feixe produzido pelo tubo de raio X constitui-se de fótons de diversos comprimentos de onda propagando-se concomitantemente e, portanto, em um mesmo ângulo de observação há superposição por interferência de fótons com várias energias correspondentes a distintas ordens de difração. Esse fato impede a discriminação dos picos de difração do fundo contínuo de Bremsstrahlung, porém não afeta a observação com boa resolução dos picos correspondentes às linhas discretas correspondentes a $K\alpha$ e $K\beta$, que se destacam em relação ao fundo de Bremsstrahlung. Os pares de linhas $K\alpha$ e $K\beta$, aparecerão em diversas ordens de difração. A fig.5 apresenta a aparência da figura de difração obtida com o difratômetro de Bragg utilizando raio X

produzido com anodo de Mo e incidência sobre um cristal de rede cúbica.

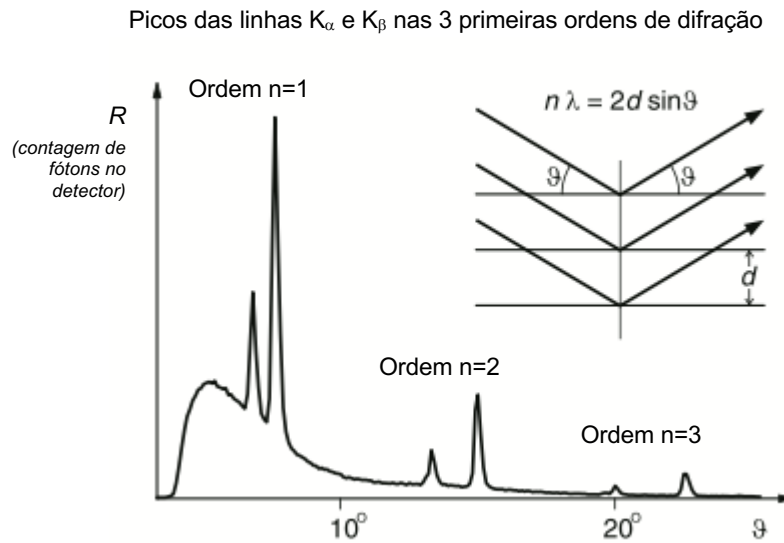


Figura 5 – Figura de difração obtida para raio X de anodo de Mo e cristal de rede cúbica

4.4. Determinação da constante de Planck

Na segunda parte da atividade de laboratório, realizaremos a determinação da constante de Planck utilizando-se o arranjo experimental do difratômetro de Bragg. Porém, em vez de considerarmos os picos na figura de difração devidos às linhas espectrais difratadas do Mo, utilizaremos o fundo de *bremstrahlung* aplicando-se a relação de Duane-Hunt.

A quantidade de fótons emitidos e a sua distribuição de energia dependem dos parâmetros de geração dos fótons de raio X (corrente e tensão, respectivamente) e do material que constitui o alvo. A tensão aplicada além de determinar o valor da energia máxima (comprimento de onda mínimo), modifica a quantidade de fótons emitidos por *bremstrahlung*, pois a seção de choque de ocorrência desse fenômeno cresce com a energia cinética dos elétrons. A corrente anódica corresponde aos elétrons acelerados entre o catodo e o anodo do tubo, e é aproximadamente proporcional ao número de fótons produzidos pelo tubo de raios X.

A banda de *bremstrahlung* em espectros de emissão de raio X é caracterizada por um comprimento de onda limite (λ_{min}) que diminui com o aumento da tensão no tubo. Em 1915, os físicos americanos William Duane e Franklin L. Hunt descobriram que o comprimento de onda limite varia com o inverso da tensão $\lambda_{min} \sim \frac{1}{V}$.

O comprimento de onda é dado por $\lambda = \frac{c}{\nu}$ sendo c a velocidade da luz no vácuo (igual a $2,9979 \times 10^8 \text{ m.s}^{-1}$) e ν a frequência da onda.

A frequência máxima ν_{\max} emitida corresponderá, portanto, ao comprimento de onda mínimo λ_{\min} .

Da relação de Einstein, a máxima energia de fóton emitido será então $E_{\max} = h \nu_{\max}$, onde h é a constante de Planck.

O fóton de raio X de *bremstrahlung* corresponde à irradiação pelo elétron de sua energia cinética adquirida por aceleração eletrostática entre o anodo e o catodo. Portanto, a máxima energia do fóton de comprimento de onda máximo λ_{\max} , corresponderá à energia cinética $E = e.U$ (carga elementar $e=1,6022 \times 10^{-19} \text{ C}$) do elétron totalmente desacelerado no anodo.

Então:

$$\nu_{\max} = \frac{e}{hU}$$

e, finalmente,

$$\lambda_{\min} = \frac{hc}{e} \cdot \frac{1}{U} \rightarrow \text{equação de Duane - Hunt.}$$

O fator de proporcionalidade: $A = \frac{h \cdot c}{e}$ pode ser usado para determinar a constante de Planck h , quando c e e são conhecidos.